

01;05;06

Дисперсионные свойства периодической полупроводниковой структуры в магнитном поле, направленном вдоль оси периодичности

© А.А. Булгаков, В.К. Кононенко

Институт радиофизики и электроники им. А.Я. Усикова НАН Украины,
61085 Харьков, Украина
e-mail: bulgakov@ire.kharkov.ua

(Поступило в Редакцию 10 сентября 2002 г. В окончательной редакции 4 апреля 2003 г.)

Исследуется зонный спектр собственных волн периодической структуры, образованной чередующимися слоями из диэлектрика и полупроводника, при распространении волн под углом к магнитному полю, направленному вдоль оси периодичности. Представлена методика нахождения дисперсионного уравнения и численно проанализированы его свойства. Показано, что в отсутствие диссипации в рассматриваемой структуре существуют два независимых спектра собственных волн и проведена классификация областей существования различных типов этих волн. Установлена возможность взаимного дополнения и наложения зон пропускания обоих спектров. Обнаружено, что при выбранном направлении магнитного поля существуют многочисленные зоны пропускания циклотронных волн.

Введение

Известно [1,2], что слоисто-периодические среды могут рассматриваться как новый тип искусственных материалов, свойствами которых можно эффективно управлять. Реакция таких сред на электромагнитное излучение зависит от электрофизических параметров и толщины слоев, образующих периодическую структуру, а также при использовании полупроводников и от приложенного магнитного поля. В последнем случае решение задачи о нахождении зонного спектра собственных волн периодической структуры определяется ее конфигурацией и направлением распространения волны. Конфигурация структуры задается двумя выделенными направлениями: направлением ее периодичности и ориентацией приложенного магнитного поля. Результаты исследований некоторых из возможных при этом случаев представлены в литературе.

В работе [3] рассматривалась структура, в которой направления распространения волн, приложенного магнитного поля и периодичности структуры совпадают. Отметим, что в однородной гиротропной среде нормальными волнами являются волны круговой поляризации, а продольные компоненты полей равны нулю [4]. Экспериментальное изучение некоторых особенностей распространения волн в такой конфигурации проведено в работе [5].

Случай, когда направление магнитного поля перпендикулярно направлению периодичности и плоскости распространения волн, исследовался в работах [6–8]. Нормальными волнами гиротропной среды в этом случае являются две волны, поляризованные в ортогональных плоскостях, каждая из которых имеет по три компонента поля.

В данной работе рассматривается конфигурация, аналогичная той же, что и в [3], т.е. направления периодичности структуры и магнитного поля совпадают, но

исследуется случай распространения волн под углом к магнитному полю (рис. 1).

В работе [9] была исследована структура, конфигурация которой такая же, как и в данной работе, однако плазмopodobный слой в [9] представлял собой двумерный электронный газ, поэтому его толщина была устремлена к нулю. В нашем случае полупроводниковый слой имеет конечную толщину, сравнимую с длиной электромагнитной волны. Как будет показано ниже, это приводит к ряду физических особенностей при формировании спектра периодической структуры.

Особенность рассматриваемой задачи по сравнению с упомянутыми выше заключается в том, что в данном случае уравнения Максвелла для полупроводника не разделяются по компонентам полей на две независимые поляризации, а нормальными волнами среды являются волны эллиптической поляризации с шестью компонентами поля у каждой из них [4,8].

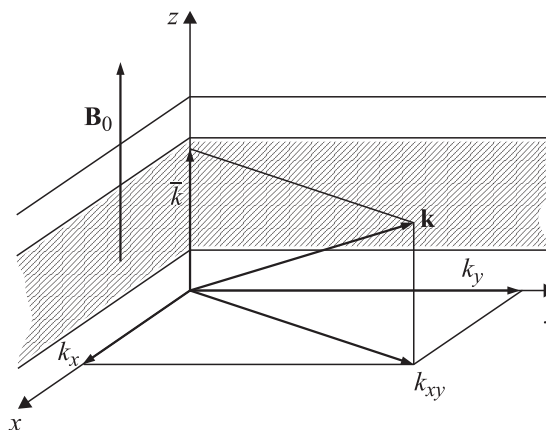


Рис. 1. Конфигурация периодической структуры. B_0 — магнитное поле; z — направление периодичности; \vec{k} — блоховское волновое число; $\mathbf{k}(k_x, k_y, \vec{k})$ — волновой вектор.

Нами исследуется зонный спектр собственных волн периодической структуры полупроводник–диэлектрик с указанной конфигурацией. Полупроводниковый слой структуры рассматривается в приближении холодной плазмы. В гидродинамическом описании он характеризуется тензором диэлектрической проницаемости следующего вида [10]:

$$\hat{\varepsilon} = \begin{vmatrix} \varepsilon_1 & i\varepsilon_2 & 0 \\ -i\varepsilon_2 & \varepsilon_1 & 0 \\ 0 & 0 & \varepsilon_2 \end{vmatrix}, \quad (1)$$

где

$$\varepsilon_1 = \varepsilon_L \left[1 + \frac{\omega_P^2}{\omega_H^2 - \omega^2} \right]; \quad \varepsilon_2 = \frac{\varepsilon_L \omega_P^2 \omega_H}{\omega(\omega_H^2 - \omega^2)};$$

$$\varepsilon_3 = \varepsilon_L \left(1 - \frac{\omega_P^2}{\omega^2} \right);$$

ε_L — диэлектрическая проницаемость решетки полупроводника; ω_P , ω_H — плазменная и циклотронная частоты; ω — частота электромагнитной волны.

Граничные условия задачи предполагают непрерывность тангенциальных компонентов электрического и магнитного полей на границах слоев.

Методика решения

Для нахождения дисперсионного уравнения, описывающего свойства рассматриваемой периодической структуры, воспользуемся методом матрицы преобразования [1], позволяющим в два раза снизить порядок системы уравнений.

Для состава матрицы преобразования одного слоя необходимо иметь независимые выражения для каждого из поперечных к направлению магнитного поля компонентов полей (в нашем случае это E_x , E_y , H_x , H_y). Отметим, что именно эти компоненты входят в граничные условия. Для гиротропной среды методика их нахождения изложена в работе [11]. Суть ее заключается в том, что вводится некоторая скалярная функция $\Psi = Z(z)\psi(x, y)$, через которую все составляющие полей выражаются простыми операциями дифференцирования. Полагая, что компоненты полей зависят от координаты z в направлении постоянного магнитного поля по гармоническому закону, представим эту функцию в виде

$$\Psi = (A_1 \cos k_{z1}z + A_2 \sin k_{z1}z + A_3 \cos k_{z2}z + A_4 \sin k_{z2}z) \exp[i(k_x x + k_y y)]. \quad (2)$$

Здесь k_{z1} и k_{z2} — поперечные волновые числа в слое полупроводника. Выражение, определяющее их значения, находится из дисперсионного уравнения для холодной магнитоактивной плазмы [10] и для рассматриваемой

конфигурации принимает следующий вид:

$$k_{z1,2}^2 = \frac{1}{2} \left[2\varepsilon_1 k_0^2 - \left(1 + \frac{\varepsilon_1}{\varepsilon_3} \right) k_{xy}^2 \right] \pm \sqrt{\frac{1}{4} \left[2\varepsilon_1 k_0^2 - \left(1 + \frac{\varepsilon_1}{\varepsilon_3} \right) k_{xy}^2 \right]^2 - \varepsilon_1 \left[\varepsilon_V k_0^4 + \frac{k_{xy}^4}{\varepsilon_3} - \left(1 + \frac{\varepsilon_V}{\varepsilon_3} \right) k_{xy}^2 k_0^2 \right]}, \quad (3)$$

где

$$k_0 = \frac{\omega}{c}, \quad \varepsilon_V = \varepsilon_1 - \frac{\varepsilon_2^2}{\varepsilon_1}, \quad k_{xy}^2 = k_x^2 + k_y^2.$$

После подстановки функции Ψ в соответствующие выражения для полей [11] получим

$$E_x = C_1 A_1 \cos k_{z1}z + C_1 A_2 \sin k_{z1}z + C_2 A_3 \cos k_{z2}z + C_2 A_4 \sin k_{z2}z,$$

$$E_y = C_3 A_1 \cos k_{z1}z + C_3 A_2 \sin k_{z1}z + C_4 A_3 \cos k_{z2}z + C_4 A_4 \sin k_{z2}z,$$

$$H_x = -D_1 A_1 \sin k_{z1}z + D_1 A_2 \cos k_{z1}z - D_2 A_3 \sin k_{z2}z + D_2 A_4 \cos k_{z2}z,$$

$$H_y = -D_3 A_1 \sin k_{z1}z + D_3 A_2 \cos k_{z1}z - D_4 A_3 \sin k_{z2}z + D_4 A_4 \cos k_{z2}z. \quad (4)$$

Коэффициенты C_i , D_i приведены в Приложении 1, а коэффициенты A_i можно выразить через значения полей в точке $z = 0$. Окончательно для полей в слое полупроводника получаем следующее соотношение, представленное в матричной форме:

$$\begin{pmatrix} E_x(z) \\ E_y(z) \\ H_x(z) \\ H_y(z) \end{pmatrix} = \hat{S} \cdot \begin{pmatrix} E_x(0) \\ E_y(0) \\ H_x(0) \\ H_y(0) \end{pmatrix}, \quad (5)$$

где \hat{S} — квадратная матрица четвертого порядка, связывающая поля в произвольной точке z слоя с полями при $z = 0$. Элементы матрицы \hat{S} приведены в Приложении 1.

Матрицу преобразования для полупроводника \hat{S}^{-1} , связывающую поля в начале слоя с полями на конце этого же слоя, получим, выполнив операцию обращения матрицы \hat{S} при $z = d_1$, где d_1 — толщина полупроводникового слоя структуры.

Аналогичные операции необходимо выполнить и для слоя диэлектрика, предварительно получив из уравнений Максвелла независимые выражения для компонентов полей. Волновое число k_z , характеризующее поперечное распределение поля в среде с диэлектрической проницаемостью ε , можно получить из (3) при подстановке значений $\varepsilon_1 = \varepsilon_3 = \varepsilon_V = \varepsilon$ и $\varepsilon_2 = 0$

$$k_z^2 = \varepsilon k_0^2 - k_{xy}^2. \quad (6)$$

Тогда для компонентов полей в произвольной точке z слоя диэлектрика, выраженных через поля в начале этого же слоя, имеем

$$\begin{aligned} E_x(z) &= F_1 \cdot E_x(0) + \frac{F_2}{\varepsilon} H_x(0) - \frac{F_3}{\varepsilon} H_y(0), \\ E_y(z) &= F_1 \cdot E_y(0) + \frac{F_4}{\varepsilon} H_x(0) - \frac{F_2}{\varepsilon} H_y(0), \\ H_x(z) &= -F_2 \cdot E_x(0) + F_3 \cdot E_y(0) + F_1 \cdot H_x(0), \\ H_y(z) &= -F_4 \cdot E_x(0) + F_2 \cdot E_y(0) + F_1 \cdot H_y(0), \end{aligned} \quad (7)$$

где коэффициенты F_i приведены в Приложении 2.

Видно, что матричное выражение для полей в диэлектрике имеет такой же вид, как и (5), но с заменой матрицы \hat{S} на матрицу \hat{D} , вид которой приведен в Приложении 2. Матрица преобразования для слоя диэлектрика \hat{D}^{-1} получается обращением матрицы \hat{D} при $z = d_2$.

Следуя [1], из условия непрерывности полей на границе раздела слоев, находим матрицу преобразования одного периода структуры, равную произведению матриц преобразования полупроводника и диэлектрика, $\hat{P} = \hat{S}^{-1} \hat{D}^{-1}$. Она связывает поля в начале и в конце периода структуры. Замечает, что матрицы \hat{S}^{-1} , \hat{D}^{-1} , \hat{P} являются унимодулярными [12].

Условие периодичности структуры позволяет теперь выразить поля при $z = 0$ через элементы матрицы преобразования одного периода \hat{P} и фазовый множитель $\exp(-i\bar{k}d)$, на который, согласно теореме Флоке (Блоха), могут отличаться поля на границах периода при $z = 0$ и $z = d_1 + d_2 = d$, где d — период структуры,

$$\begin{pmatrix} E_x(0) \\ E_y(0) \\ H_x(0) \\ H_y(0) \end{pmatrix} = \hat{P} \cdot \begin{pmatrix} E_x(d) \\ E_y(d) \\ H_x(d) \\ H_y(d) \end{pmatrix} = \hat{P} \cdot e^{-i\bar{k}d} \begin{pmatrix} E_x(0) \\ E_y(0) \\ H_x(0) \\ H_y(0) \end{pmatrix}. \quad (8)$$

Здесь \bar{k} — так называемое блоховское волновое число, т.е. усредненное по периоду новое поперечное (вместо k_{z1}, k_{z2}, k_z) волновое число периодической структуры.

Соотношения (8) можно представить в виде системы линейных однородных уравнений, условием разрешимости которой является равенство нулю ее определителя

$$\det(\hat{P} - e^{i\bar{k}d} \cdot \hat{E}) = 0, \quad (9)$$

где \hat{E} — единичная матрица.

Раскрыв определитель, получим из (9) дисперсионное уравнение, связывающее ω , \bar{k} , k_x и k_y .

Исследование дисперсионного уравнения

Отметим, что дисперсионное уравнение, полученное из (9), является уравнением четвертого порядка относительно величины $\xi = \exp(i\bar{k}d)$

$$\xi^4 + B_3 \xi^3 + B_2 \xi^2 + B_1 \xi + B_0 = 0, \quad (10)$$

где коэффициенты $B_0 - B_3$ выражаются через различные комбинации элементов матрицы \hat{P} , при этом свободный член дисперсионного уравнения равен определителю матрицы \hat{P} , т.е. $\det \hat{P} = 1$. Таким образом, соотношение (10) преобразуется к виду

$$\xi^4 + B_3 \xi^3 + B_2 \xi^2 + B_1 \xi + 1 = 0. \quad (11)$$

Выражения для коэффициентов $B_1 - B_3$ приведены в Приложении 3.

Дисперсионное уравнение такого типа может быть представлено в виде произведения двух квадратных полиномов

$$(\xi^2 + a_1 \xi + 1)(\xi^2 + a_2 \xi + 1) = 0.$$

Это становится возможным при условии, что $B_1 = B_3$. В том, что это условие выполняется для рассматриваемой здесь конфигурации структуры, можно убедиться численно. Отметим, что преобразование уравнения (10) к выражению (12) является результатом численного исследования и поэтому носит частный характер. Однако с физической точки зрения в периодической структуре должны отражаться и физические свойства входящих в нее слоев. Поэтому если поперечные волновые числа слоев могут быть найдены в явном виде (например, в гиротропной среде), то можно предположить, что блоховские волновые числа вследствие симметрии задачи будут определяться квадратными (или биквадратными) уравнениями.

Коэффициенты в (11) и (12) связаны соотношениями $B_1 = a_1 + a_2$ и $B_2 = 2 + a_1 \cdot a_2$, откуда следует, что

$$a_{1,2} = \frac{B_1}{2} \pm \sqrt{\left(\frac{B_1}{2}\right)^2 + 2 - B_2}. \quad (13)$$

Таким образом, дисперсионное уравнение (12) имеет два решения, с физической точки зрения означающие, что в рассматриваемой структуре существуют два независимых спектра собственных волн, каждый из которых характеризуется своим дисперсионным уравнением и блоховским волновым числом. Эти уравнения получаются из (12) при подстановке в него (13) и замене ξ на $\exp(i\bar{k}_{1,2}d)$

$$\cos \bar{k}_1 d = -\frac{a_1}{2}, \quad (14)$$

$$\cos \bar{k}_2 d = -\frac{a_2}{2}. \quad (15)$$

Они описывают два зонных спектра собственных волн структуры, полосы пропускания которых соответственно определяются условиями $|a_1| \leq 2$ и $|a_2| \leq 2$, где a_1 и a_2 — действительные числа. При этом значения $\bar{k}_{1,2}$ вещественные. Во всех остальных случаях имеют место зоны непропускания, а $\bar{k}_{1,2}$ — комплексные числа [13]. Так как уравнения (14) и (15) взаимно независимы, то и полосы пропускания этих спектров могут взаимно пересекаться и накладываться. Заметим, что независимость дисперсионных уравнений для блоховских волновых чисел \bar{k}_1 и \bar{k}_2 обусловлена пренебрежением в данной задаче процессами диссипации.

Зонная структура спектра

Результаты численного решения задачи представлены в виде двух независимых зонных спектров собственных волн периодической структуры при фиксированном значении приложенного магнитного поля. В расчетах были приняты следующие значения: полупроводниковый слой — $n\text{-InSb}$ с концентрацией электронов $3 \cdot 10^{14} \text{ cm}^{-3}$, $\varepsilon_L = 17.8$, $d_1 = 0.01 \text{ cm}$; диэлектрический слой — с $\varepsilon_2 = 2.0$, $d_2 = 0.03 \text{ cm}$.

Предварительно отметим следующее.

1. Для понимания процесса формирования зонного спектра структуры необходимо учитывать зависимость элементов тензора $\hat{\varepsilon}$ и фойгтовской диэлектрической проницаемости ε_V от частоты. Такие зависимости для значения индукции магнитного поля $B_0 = 0.05 \text{ T}$ приведены на рис. 2, где можно выделить ряд характерных областей. Это — области левее и правее частоты циклотронного резонанса, на которой компоненты тензора ε_1 и ε_2 имеют расходящуюся и меняют знак. Кроме того, на плазменной частоте имеется характерная точка, где $\varepsilon_3 = 0$, а на частоте гибридного циклотронного резонанса $\omega_h = \sqrt{\omega_H^2 + \omega_p^2}$ обращается в бесконечность фойгтовская диэлектрическая проницаемость ε_V . В этих областях должны возникать особенности и в зонной структуре спектра.

2. Выражения (3) и (6) соответственно для $k_{z1,2}^2$ и k_z^2 зависят от компонент волнового вектора k_x и k_y только в комбинации $k_{xy}^2 = k_x^2 + k_y^2$. Поэтому можно предположить, что спектр также будет определяться только величиной k_{xy} . Действительно, численные расчеты показывают, что изменения отношения k_y/k_x при условии $k_{xy} = \text{const}$ дают одинаковые значения для дисперсионных зависимостей $\omega = f(k_x, k_y)$. С физической точки

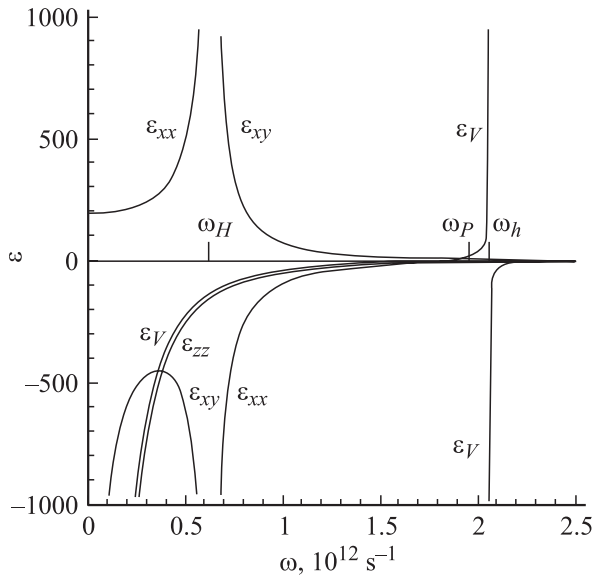


Рис. 2. Частотная зависимость элементов тензора $\hat{\varepsilon}$ и фойгтовской диэлектрической проницаемости ε_V полупроводникового слоя периодической структуры.

зрения это означает, что поворот плоскости, содержащей ось z и вектор \mathbf{k}_{xy} , в которой происходит распространение волн относительно оси z (рис. 1), картины спектра не изменяет. Из этого следует целесообразность использования в качестве переменного параметра именно величины k_{xy} (точнее $k_{xy}d$).

3. В процессе формирования зонного спектра собственных волн в рассматриваемой периодической структуре участвуют четыре парциальные волны: с поперечными волновыми числами k_{z1} и k_{z2} в полупроводниковом слое и с одинаковыми поперечными волновыми числами k_z , но с различными (ортогональными) поляризациями в диэлектрическом слое. Отметим, что, как следует из соотношений (3) и (6), k_{z1} и k_{z2} могут быть действительными, мнимыми или комплексными величинами, а k_z — действительной или мнимой величиной. Различные сочетания комплексности этих трех поперечных волновых чисел определяют возможность существования того или иного типа собственных волн в данной области зонного спектра, а также распределение электрических и магнитных полей в слоях структуры. Поэтому при анализе зонных спектров важно знать положение границ переходов между областями с различной комплексностью поперечных волновых чисел. Используя (3), можно показать, что в полупроводнике границы между действительными и мнимыми значениями $k_{z1,2}$ определяются соотношениями

$$k_{xy} = k_0 \sqrt{\varepsilon_3} \quad (16)$$

(на частотах выше ω_p) и

$$k_{xy} = k_0 \sqrt{\varepsilon_V}. \quad (17)$$

Границы между комплексными и действительными или мнимыми значениями $k_{z1,2}$ определяются следующим соотношением:

$$k_{xy} = \frac{k_0}{\omega_H} \sqrt{2\varepsilon_L(\omega^2 - \omega_p^2) \left[1 \pm \sqrt{1 - \left(\frac{\omega_H}{\omega}\right)^2} \right]} \quad (18)$$

и находятся в области частот, для которых $\omega > \omega_p$, ω_H . При $\omega \gg \omega_H$ соотношение (18) для одного из поперечных волновых чисел (со знаком „минус“ перед корнем) переходит в (16).

На рис. 3 представлены зависимости границ областей с различной комплексностью k_z для исследуемой структуры при $B_0 = 0.05 \text{ T}$. Для полупроводника эти области ограничены нанесенными кривыми и пунктирными прямыми, соответствующими частотам ω_p , ω_{SP} и ω_H . Для диэлектрика границей раздела является световая линия, $k_{xy}c/\omega = \varepsilon^{1/2}$, слева от которой значения k_z действительные, справа — мнимые.

На рис. 4, а показан полный спектр периодической структуры, рассчитанный для значений магнитного поля $B_0 = 0.05 \text{ T}$ и $k_y/k_x = 2$. Он получен сложением

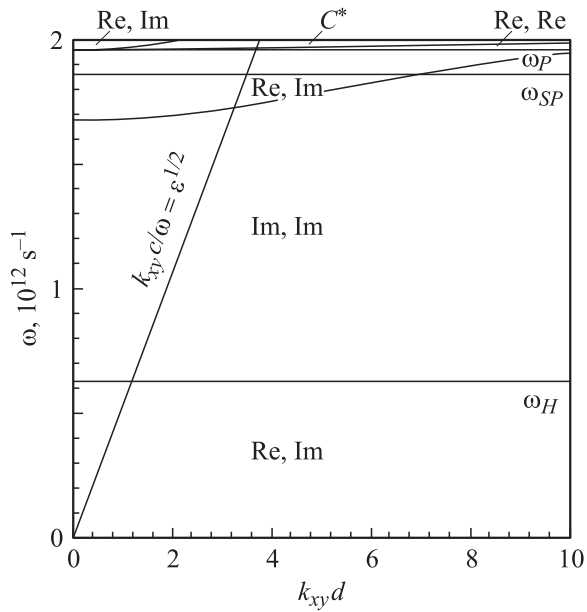


Рис. 3. Области различной комплексности для поперечных волновых чисел полупроводниковых слоев структуры k_{z1}, k_{z2} (C^* — комплексно-сопряженные значения).

двух независимых спектров, соответствующих блоховским волновым числам \bar{k}_1 и \bar{k}_2 , определяемых дисперсионными уравнениями (14), (15) и показанных на рис. 4, *b, c*. Спектр состоит из чередующихся зон пропускания и непропускания, ширина которых является функцией $k_{xy}d$. В структуре спектра можно выделить несколько специфических областей, характеризуемых соответствующими типами собственных волн периодической структуры. Рассмотрим некоторые из них.

Область коллективных поверхностных волн. Она включает в себя две зоны пропускания, расположенные на частотах ниже плазменной и существующие также в отсутствие магнитного поля. Такое свойство периодической среды оказываться прозрачной для электромагнитных волн на частотах, где входящие в ее состав полупроводниковые слои непрозрачны, отмечено в работе [1]. Эти волны можно классифицировать как необыкновенные. Особенность же данного случая и его отличие от рассмотренного в [1] заключается в том, что теперь в образовании зон участвуют не две, а четыре парциальные волны, определяющие топологию спектра, в том числе и в данной области. Это приводит как к изменению форм зон пропускания, так и к характера распределения полей по слоям.

При больших $k_{xy}d$ ширина этих зон пропускания уменьшается, они выходят на горизонтальную асимптоту, соответствующую частоте поверхностного плазмона $\omega_{SP} = \sqrt{\epsilon_L \omega_P^2 / (\epsilon_L + \epsilon_2)}$. Значения поперечных волновых чисел в этой области частот мнимые (рис. 3) и соответствуют парциальным волнам, поля которых убывают от границ каждого слоя по экспоненциальному закону.

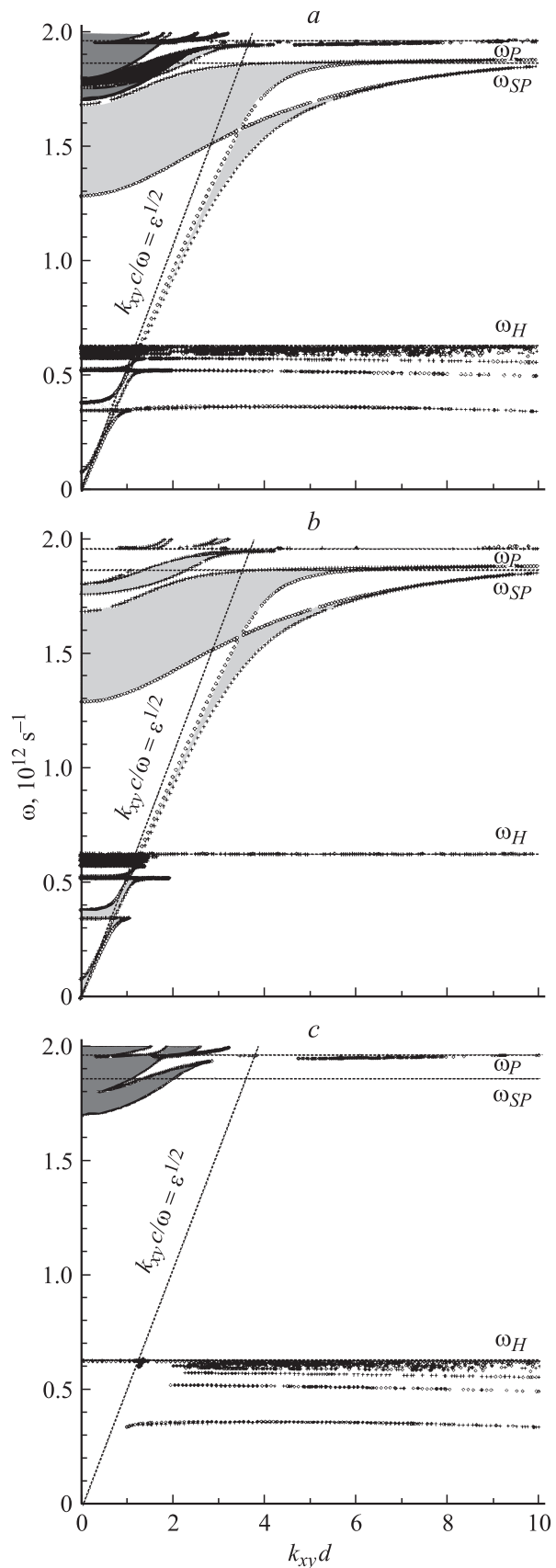


Рис. 4. Зонные спектры периодической структуры: *a* — полный; *b, c* — соответственно для блоховских волновых чисел \bar{k}_1 и \bar{k}_2 .

Отметим также, что на самой верхней границе этой зоны пропускания существует участок с отрицательной групповой скоростью. Форма зон пропускания зависит от значения приложенного магнитного поля.

Область волноводных плазменных волн. Она представлена узкой зоной пропускания, асимптотой для которой является плазменная частота. В отсутствие магнитного поля эта область не существует. Значения поперечных волновых чисел для парциальных волн в полупроводниковом слое действительны (рис. 3), т.е. это волны волноводного типа в каждом слое. В диэлектрике значения волновых чисел чисто мнимые, а поля имеют поверхностный характер, т.е. их амплитуды убывают по экспоненте от границ диэлектрических слоев.

Область циклотронных волн. Область состоит из целого ряда зон, находящихся ниже циклотронной частоты, по мере приближения к которой ширина зон сужается, стремясь в пределе к нулю. Это связано с тем, что вблизи этой частоты из-за расходимости компонентов тензора $\hat{\epsilon}$ волновые числа k_{z1} и k_{z2} могут принимать бесконечно большие значения. А так как в дисперсионное уравнение входят тригонометрические функции аргументов $k_{z1}d_1$ и $k_{z2}d_1$, то это приводит к возникновению бесчисленного множества зон пропускания и непропускания. Аналогичный эффект отмечался в работе [6] при „поперечном“ распространении волн на частотах ниже частоты гибридного резонанса. Разумеется, такое дробление зон возможно лишь при пренебрежении диссипативными процессами. При наличии диссипации ширина зон пропускания и непропускания по частоте не может быть меньше значения частоты диссипации.

В рассматриваемой области частот $\omega \leq \omega_H$ при выполнении условия $k_{xy} \gg k_0$ выражения для поперечных волновых чисел в слоях структуры принимают вид

$$k_{z1} \approx \pm \sqrt{\left| \frac{\epsilon_1}{\epsilon_3} \right|} \cdot k_{xy}, \quad (19)$$

$$k_{z2} \approx k_z \approx \pm ik_{xy}. \quad (20)$$

Здесь учтена частотная зависимость элементов тензора $\hat{\epsilon}$ диэлектрической проницаемости полупроводника (рис. 2). Из полученных соотношений следует, что в рассматриваемом приближении в полупроводниковом слое одна из парциальных волн, с k_{z1} , имеет волноводный характер, другая, с k_{z2} , — поверхностный. Такая ситуация, когда для выполнения граничных условий необходимо к поверхностным волнам „примешивать“ объемные, классифицируется в [14] как возникновение псевдоповерхностных мод.

В верхней части зонного спектра, слева от световой линии, поперечное волновое число в диэлектрике действительное, в полупроводнике одно действительное, другое мнимое (рис. 3), т.е. это тоже область псевдоповерхностных мод. Здесь существует несколько широких зон пропускания, соответствующих блоховским волновым числам $\bar{k}_{1,2}$. При этом, как видно из рис. 4, эти

зоны частично перекрываются, образуя общую для \bar{k}_1 и \bar{k}_2 зону пропускания.

Заключение

В работе рассчитан и проанализирован зонный спектр слоисто-периодической полупроводниковой структуры, помещенной в магнитное поле, направленное вдоль оси периодичности, при распространении волн под углом к магнитному полю. Представлена методика нахождения дисперсионного уравнения. Численно показано, что для рассматриваемой конфигурации периодической структуры дисперсионное уравнение может быть представлено в виде произведения двух квадратных полиномов и проведен анализ свойств такого уравнения.

Установлено, что в данной структуре в отсутствие диссипации существуют два независимых спектра собственных волн. Показано, что зонный спектр состоит из коллективных плазменных волн и многочисленных зон циклотронных волн.

Проведена классификация областей существования собственных волн этого спектра. Установлена возможность взаимного наложения и дополнения зон пропускания двух независимых спектров периодической структуры.

Приложение 1

Коэффициенты C_i , D_i в выражениях (4) для компонентов полей в полупроводнике

$$C_{1,2} = \left\{ ik_y \left[\epsilon_1 \left(k_0^2 - \frac{k_{xy}^2}{\epsilon_3} \right) - k_{z1,z2}^2 \right] - \epsilon_2 k_x \left(k_0^2 - \frac{k_{xy}^2}{\epsilon_3} \right) \right\} e^{i(k_x x + k_y y)},$$

$$C_{3,4} = \left\{ -ik_x \left[\epsilon_1 \left(k_0^2 - \frac{k_{xy}^2}{\epsilon_3} \right) - k_{z1,z2}^2 \right] - \epsilon_2 k_y \left(k_0^2 - \frac{k_{xy}^2}{\epsilon_3} \right) \right\} e^{i(k_x x + k_y y)},$$

$$D_{1,2} = k_{z1,z2} \left\{ \frac{k_x}{k_0} \left[\epsilon_1 \left(k_0^2 - \frac{k_{xy}^2}{\epsilon_3} \right) - k_{z1,z2}^2 \right] - i\epsilon_2 k_0 k_y \right\} e^{i(k_x x + k_y y)},$$

$$D_{3,4} = k_{z1,z2} \left\{ \frac{k_y}{k_0} \left[\epsilon_1 \left(k_0^2 - \frac{k_{xy}^2}{\epsilon_3} \right) - k_{z1,z2}^2 \right] + i\epsilon_2 k_0 k_x \right\} e^{i(k_x x + k_y y)}.$$

Элементы матрицы полупроводника \hat{S}

$$\begin{aligned} S_{11} &= C_5(C_1C_4 \cos \alpha - C_2C_3 \cos \beta), \\ S_{21} &= C_3C_4C_5(\cos \alpha - \cos \beta), \\ S_{12} &= -C_1C_2C_5(\cos \alpha - \cos \beta), \\ S_{22} &= -C_5(C_2C_3 \cos \alpha - C_1C_4 \cos \beta), \\ S_{13} &= D_5(C_1D_4 \sin \alpha - C_2D_3 \sin \beta), \\ S_{23} &= D_5(C_3D_4 \sin \alpha - C_4D_3 \sin \beta), \\ S_{14} &= -D_5(C_1D_2 \sin \alpha - C_2D_1 \sin \beta), \\ S_{24} &= -D_5(C_3D_2 \sin \alpha - C_4D_1 \sin \beta), \\ S_{31} &= -C_5(D_1C_4 \sin \alpha - D_2C_3 \sin \beta), \\ S_{41} &= -C_5(D_3C_4 \sin \alpha - D_4C_3 \sin \beta), \\ S_{32} &= C_5(D_1C_2 \sin \alpha - D_2C_1 \sin \beta), \\ S_{42} &= C_5(D_3C_2 \sin \alpha - D_4C_1 \sin \beta), \\ S_{33} &= D_5(D_1C_4 \cos \alpha - D_2D_3 \cos \beta), \\ S_{43} &= D_3D_4D_5(\cos \alpha - \cos \beta), \\ S_{34} &= -D_1D_2D_5(\cos \alpha - \cos \beta), \\ S_{44} &= -D_5(D_2D_3 \cos \alpha - D_1D_4), \end{aligned}$$

где $\alpha = k_1z$, $\beta = k_2z$, $C_5 = (C_1C_4 - C_2C_3)^{-1}$,
 $D_5 = (D_1D_4 - D_2D_3)^{-1}$.

Приложение 2

Коэффициенты F_i в выражениях (7) для компонентов полей в диэлектрике

$$F_1 = \cos k_z z, \quad F_2 = i \frac{k_x k_y}{k_0 k_z} \sin k_z z,$$

$$F_3 = i \frac{(k_x k_y)^2 + \varepsilon(k_0 k_z)^2}{k_0 k_z (k_y^2 - \varepsilon k_0^2)} \sin k_z z,$$

$$F_4 = i \frac{k_y^2 - \varepsilon k_0^2}{k_0 k_z} \sin k_z z.$$

Матрица диэлектрика \hat{D}

$$\hat{D} = \begin{pmatrix} F_1 & 0 & F_2/\varepsilon & -F_3/\varepsilon \\ 0 & F_1 & F_4/\varepsilon & -F_2/\varepsilon \\ -F_2 & F_3 & F_1 & 0 \\ -F_4 & F_2 & 0 & F_1 \end{pmatrix}.$$

Приложение 3

Коэффициенты дисперсионного уравнения, выраженные через элементы матрицы преобразования одного периода структуры \hat{P}

$$B_1 = - \sum_{i=1}^2 \sum_{j=i+1}^3 \sum_{k=j+1}^4 (p_{ii} p_{jj} p_{kk} + p_{ij} p_{jk} p_{ki} + p_{ik} p_{ji} p_{kj} - p_{ii} p_{jk} p_{kj} - p_{jj} p_{ki} p_{ik} - p_{kk} p_{ij} p_{ji}),$$

$$B_2 = \sum_{i=1}^3 \sum_{j=i+1}^4 (p_{ii} p_{jj} - p_{ij} p_{ji}),$$

$$B_3 = - \sum_{i=1}^4 p_{ii}.$$

Список литературы

- [1] Басс Ф.Г., Булгаков А.А., Тетервов А.П. Высокочастотные свойства полупроводников со сверхрешетками. М.: Наука, 1989. 287 с.
- [2] Ярив А., Юх П. Оптические волны в кристаллах. М.: Мир, 1987. 616 с.
- [3] Baynham A.C., Boardman A.D. // J. Phys. C. (Sol. St. Phys.). 1969. Ser. 2. Vol. 2. P. 619–628.
- [4] Гинзбург В.Л. Распространение электромагнитных волн в плазме. М.: Наука, 1967. 684 с.
- [5] Бразис Р.С., Миронас А.С., Пожела Ю.К. // Литов. физ. сб. 1974. Т. 14. № 1. С. 95–106.
- [6] Булгаков А.А., Шрамкова О.В. // РЭ. 2001. Т. 46. Вып. 2. С. 236–240.
- [7] Brion J.J., Wallis R.F., Hardstein A., Burstein E. // Phys. Rev. Lett. 1972. Vol. 28. N 22. P. 1455–1458.
- [8] Wallis R.F., Brion J.J., Burstein E., Hartstein A. // Phys. Rev. B. 1974. Vol. 9. N 8. P. 3424–3437.
- [9] Блудов Ю.В. // Доп. НАН України. 1999. № 12. С. 79–85.
- [10] Ахизер А.И., Ахизер И.А., Половин Р.В. и др. Электродинамика плазмы / Под ред. А.И. Ахизера. М.: Наука, 1974. 720 с.
- [11] Гуревич А.Г. Ферриты на сверхвысоких частотах. М.: ИФМЛ, 1960. 408 с.
- [12] Борн М., Вольф Э. Основы оптики. М.: Наука, 1973. 719 с.
- [13] Карпов С.Ю., Столяров С.Н. // УФН. 1993. Т. 163. Вып. 1. С. 63–89.
- [14] Бразис Р.С. // Литов. физ. сб. 1981. Т. 21. № 4. С. 73–117.